

## Modèle du gaz de Fermi (4)

- Energie cinétique moyenne d'un nucléon dans le noyau:

$$\langle T \rangle = \frac{\int_0^{A/4} T du}{\int_0^{A/4} du} = \dots = \frac{3}{5} T_F \approx 20 \text{ MeV}$$

- Energie de séparation  $S$  du nucléon le moins lié:

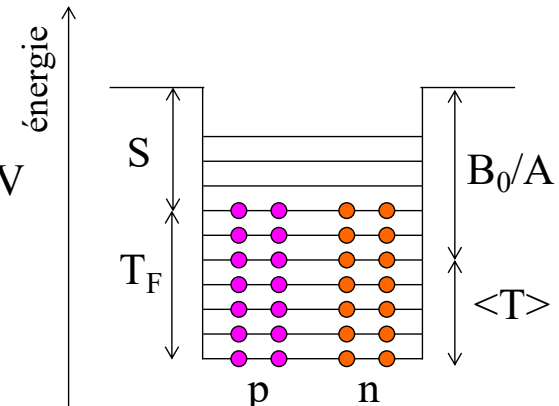
$S \approx 6 \text{ MeV}$   
 ~ constante pour tous les noyaux  
 paramètre empirique

- Energie de liaison moyenne d'un nucléon:

$$\frac{B_0}{A} = T_F + S - \langle T \rangle \approx 33 + 6 - 20 = 19 \text{ MeV}$$

- Energie de liaison totale du noyau:

$$B_0 = a_v A \quad \text{où } a_v = 19 \text{ MeV}$$



## Modèle du gaz de Fermi (5)

- Energie de liaison brute:  $B_0 = a_v A$  où  $a_v = 19 \text{ MeV}$

- Corrections:

- ① Energie de répulsion coulombienne entre les protons

$$E_C = a_C \frac{Z^2}{A^{1/3}} \quad \text{où } a_C \approx 0.72 \text{ MeV}$$

- ② Energie d'asymétrie (pour  $N$  différent de  $Z$ )

$$E_a = a_a \frac{(N-Z)^2}{A} \quad \text{où } a_a \approx 11 \text{ MeV}$$

- ③ Energie de surface

$$E_s = a_s A^{2/3} \quad \text{où } a_s \approx 16 \text{ MeV}$$

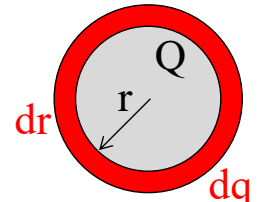
- Energie de liaison corrigée:

$$B = B_0 - E_C - E_a - E_s$$

# Energie coulombienne d'un noyau

- On considère une boule de rayon  $R$  de charge  $Ze$ , densité de charge  $= \eta = \frac{Ze}{\frac{4}{3}\pi R^3}$  uniformément chargée
- Energie d'interaction d'une boule de rayon  $r$  et de charge  $Q$  avec une coquille de rayon  $r$ , d'épaisseur  $dr$  et de charge  $dq$ :

$$dE_c = \frac{dq Q}{4\pi\epsilon_0 r} = \frac{(4\pi r^2 dr \eta)(\frac{4}{3}\pi r^3 \eta)}{4\pi\epsilon_0 r} = \frac{4\pi}{3\epsilon_0} \eta^2 r^4 dr$$



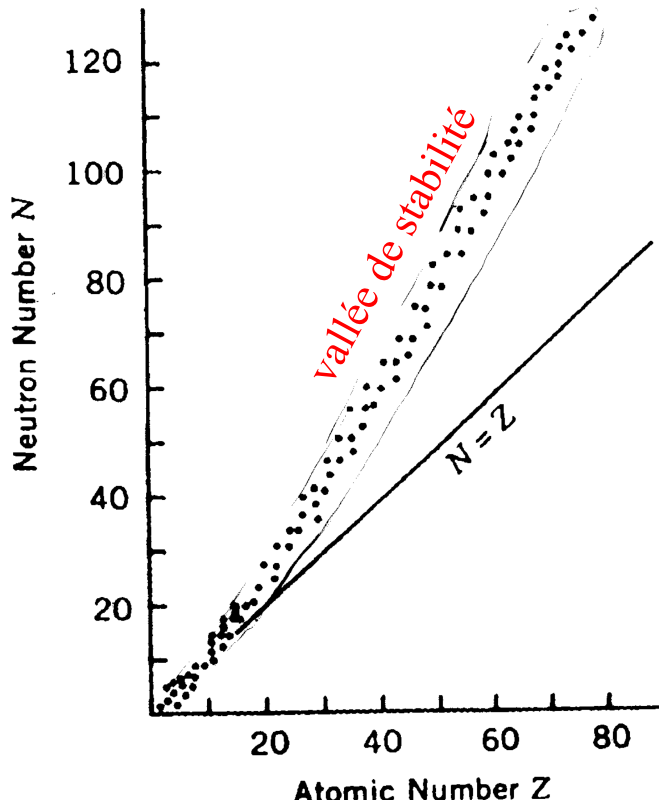
- Energie totale pour la boule de rayon  $R$ :

$$E_c = \int_0^R dE_c = \frac{4\pi}{3\epsilon_0} \eta^2 \int_0^R r^4 dr = \frac{4\pi}{3\epsilon_0} \left( \frac{Ze}{\frac{4}{3}\pi R^3} \right)^2 \frac{R^5}{5} = \frac{e^2}{4\pi\epsilon_0} \frac{3Z^2}{5R}$$

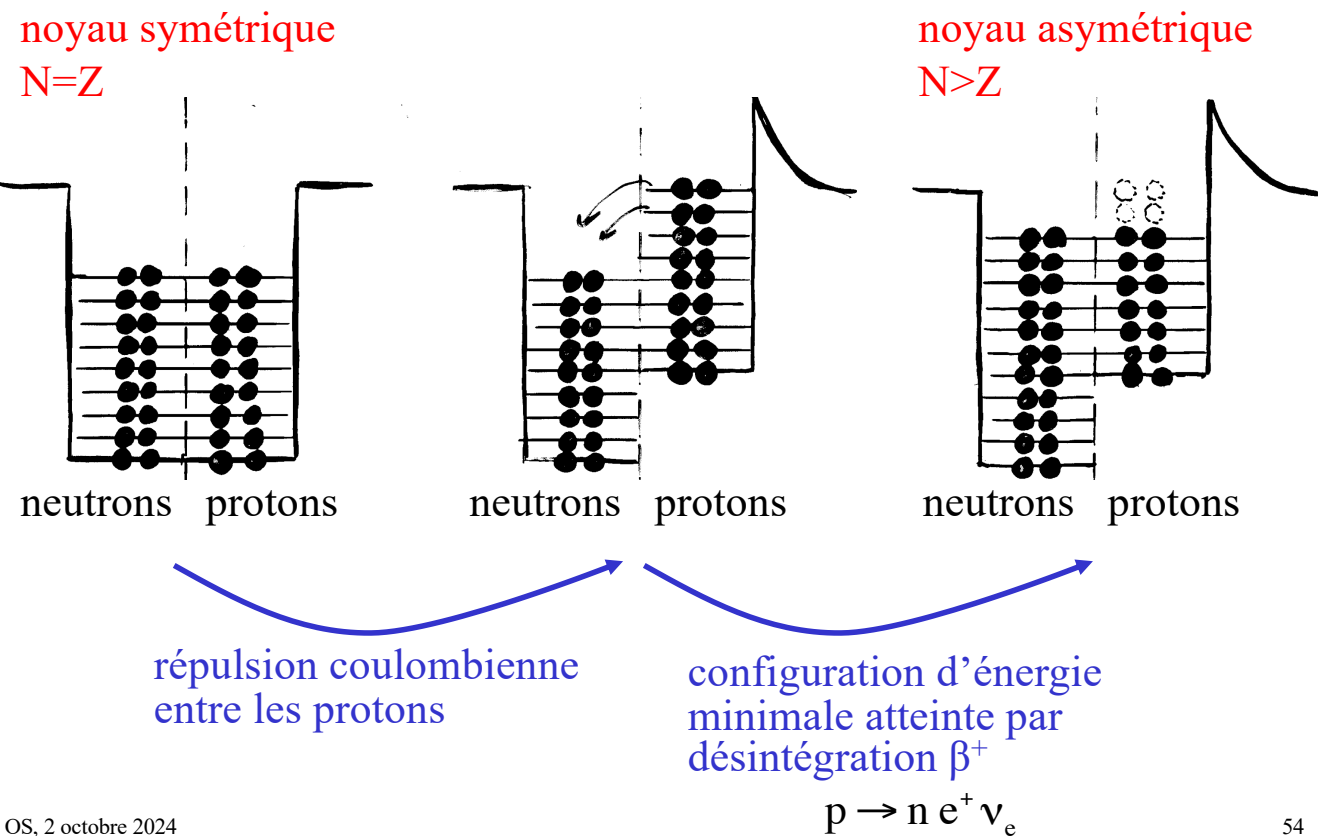
$$= \frac{3}{5} \frac{\alpha \hbar c}{r_0} \frac{Z^2}{A^{1/3}} = \frac{3}{5} \times \frac{197 \text{ MeV fm}}{137 \times 1.2 \text{ fm}} \times \frac{Z^2}{A^{1/3}} \approx 0.72 \text{ MeV} \times \frac{Z^2}{A^{1/3}}$$

## Asymétrie $N - Z$

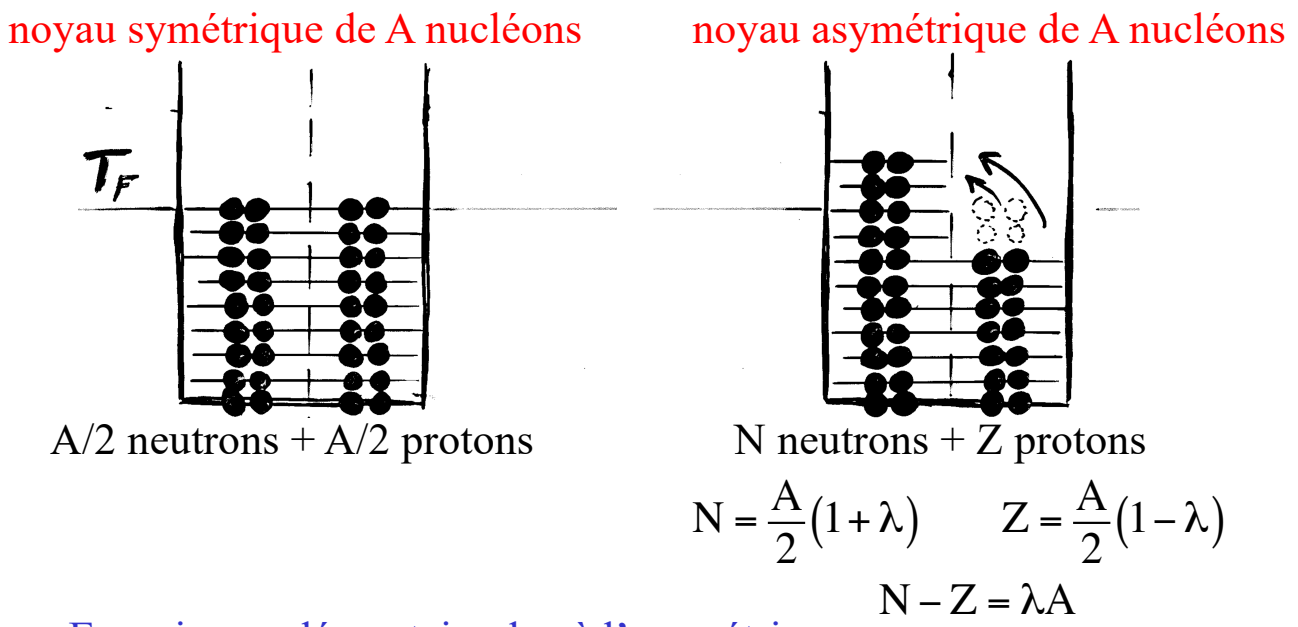
- Pour les noyaux stables légers:  
 $N \approx Z$
- Pour les noyaux stables moyens ou lourds:  
 $N > Z$
- Effets déterminants:
  - ① principe d'exclusion
  - ② répulsion coulombienne



# Etat d'énergie mininale d'un noyau



## Energie d'asymétrie



- Energie supplémentaire due à l'asymétrie:

$$E_a = 2 \int_{A/4}^{A/4(1+\lambda)} T du - 2 \int_{A/4(1-\lambda)}^{A/4} T du$$

neutrons en plus      protons en moins

# Energie d'asymétrie (calcul)

$$F(u) = \int_0^u T \, du \quad \frac{dF}{du} = T(u) = \text{énergie du } u\text{-ième niveau}$$

$$E_a = 2 \left[ F\left(\frac{A}{4}(1+\lambda)\right) - F\left(\frac{A}{4}\right) \right] - 2 \left[ F\left(\frac{A}{4}\right) - F\left(\frac{A}{4}(1-\lambda)\right) \right]$$

Développement limité en  $\lambda$  au 2<sup>ème</sup> ordre (valable si  $\lambda \ll 1$ ):

$$F\left(\frac{A}{4}(1 \pm \lambda)\right) = F\left(\frac{A}{4}\right) \pm \left(\lambda \frac{A}{4}\right) \frac{dF}{du} \Big|_{u=A/4} + \frac{1}{2} \left(\lambda \frac{A}{4}\right)^2 \frac{d^2F}{du^2} \Big|_{u=A/4}$$

$$E_a \approx 4 \frac{1}{2} \left(\lambda \frac{A}{4}\right)^2 \frac{d^2F}{du^2} \Big|_{u=A/4} = \frac{1}{8} \lambda^2 A^2 \frac{dT}{du} \Big|_{u=A/4} = \frac{1}{8} (N - Z)^2 \frac{dT}{du} \Big|_{u=A/4}$$

$$\left( T = \frac{\hbar^2 k^2}{2m} \text{ et } u = \frac{\Omega}{6\pi^2} k^3 \right) \Rightarrow T(u) = \beta u^{2/3} \Rightarrow \frac{dT}{du} = \frac{2}{3} \beta u^{-1/3} = \frac{2}{3} \frac{T}{u}$$

$$E_a \approx \frac{1}{8} (N - Z)^2 \frac{2}{3} \frac{T_F}{\frac{A}{4}} = \frac{T_F}{3} \frac{(N - Z)^2}{A} = 11 \text{ MeV} \times \frac{(N - Z)^2}{A}$$

# Désintégrations (instabilités) nucléaires

- Population de noyaux instables, avec durée de vie moyenne  $\tau$

$$N(t) = N_0 \exp\left(-\frac{t}{\tau}\right)$$

$$-\text{ temps de demi-vie } t_{1/2} \quad N(t_{1/2}) = \frac{N_0}{2} \Rightarrow t_{1/2} = \tau \ln(2)$$

- Activité = nombre de désintégrations par unité de temps

$$A(t) = -\frac{dN}{dt} = A_0 \exp\left(-\frac{t}{\tau}\right) \quad A_0 = \frac{N_0}{\tau}$$

- Désintégration:



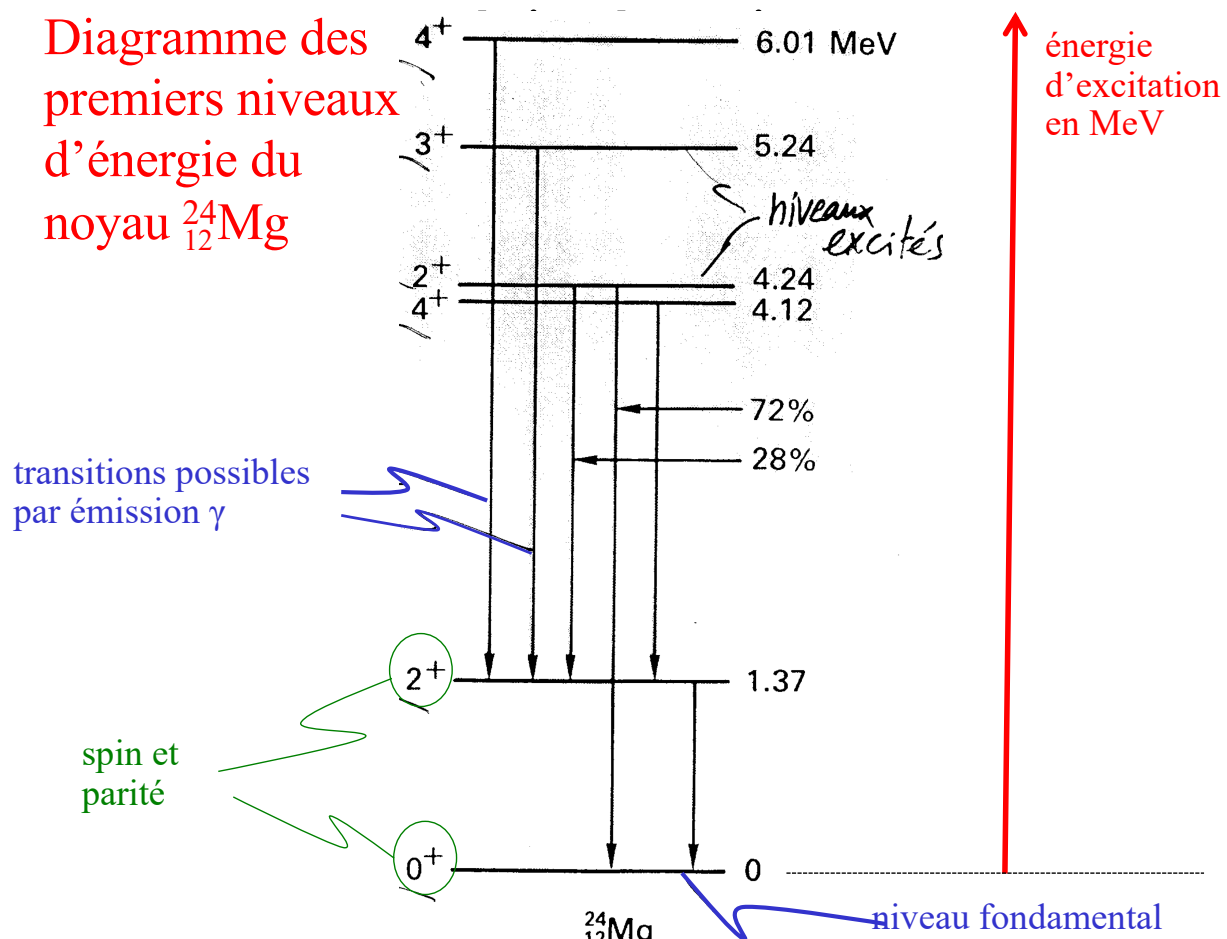
- Energie cinétique dégagée:  
(on a posé  $c=1$ )

$$Q = m_X - m_A - m_B - m_C > 0$$

# Désintégrations (instabilités) nucléaires

<b>α</b> émission α fission (cas plus général)	${}^A_Z X \rightarrow {}^{A-4}_{Z-2} Y + {}^4_2 He$ ${}^A_Z X \rightarrow {}^{A'}_{Z'} Y^{(*)} + {}^{A-A'}_{A-Z'} W^{(*)} + \text{neutrons}$	$Q_\alpha = M_X - M_Y - M_{He}$
<b>β</b> émission $\beta^-$ émission $\beta^+$ capture électronique (par ex. capture K)	${}^A_Z X \rightarrow {}^{A+1}_{Z+1} Y^{(*)} + e^- + \bar{\nu}_e$ ${}^A_Z X \rightarrow {}^{A-1}_{Z-1} Y^{(*)} + e^+ + \nu_e$ ${}^A_Z X + e^- \rightarrow {}^{A-1}_{Z-1} Y^{(*)} + \nu_e$	$Q_{\beta^-} = M_X - M_{Y^{(*)}}$ $Q_{\beta^+} = M_X - M_{Y^{(*)}} - 2m_e$ $Q_{EC} = M_X - M_{Y^{(*)}}$
<b>γ</b> émission $\gamma$ conversion interne	${}^A_Z X^* \rightarrow {}^A_Z X + \gamma$ ${}^A_Z X^* + e^- \rightarrow {}^A_Z X + e^-$	$Q_\gamma = M_{X^*} - M_X$

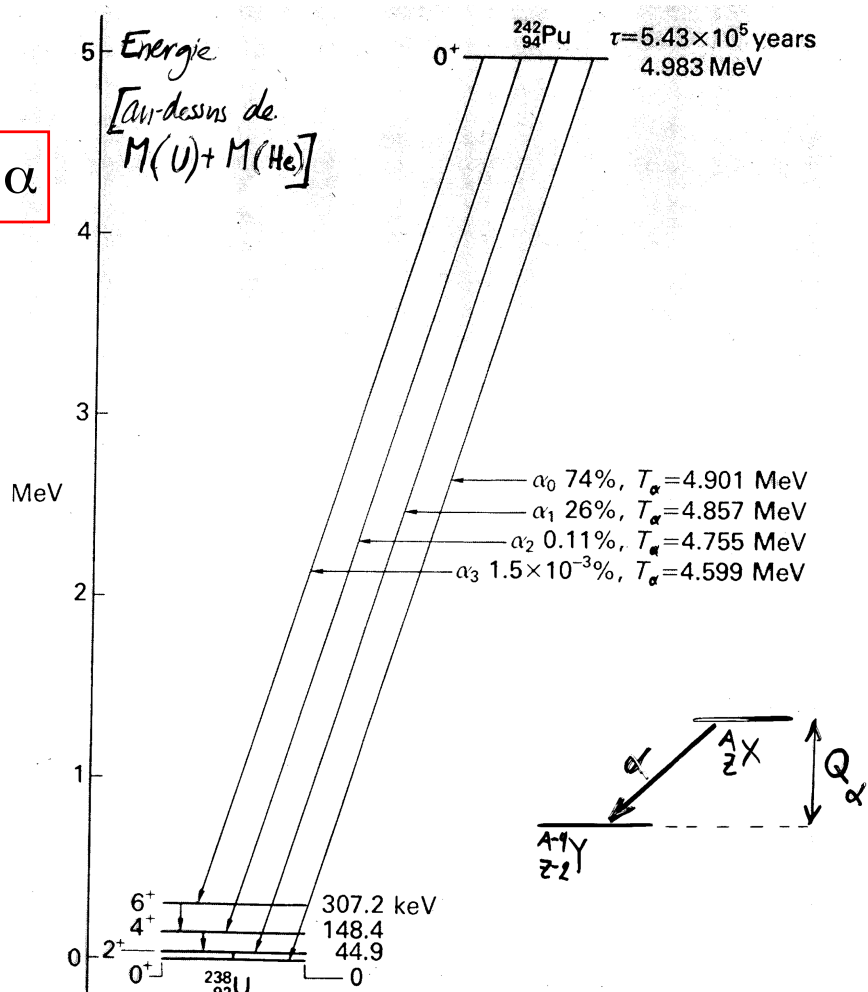
Diagramme des premiers niveaux d'énergie du noyau  ${}^{24}_{12} Mg$



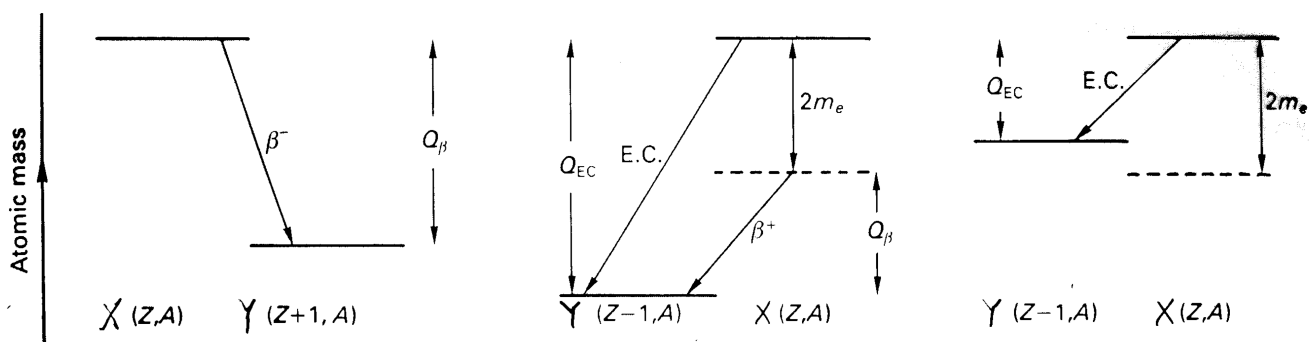
## Désintégration $\alpha$



(voir exercice)



## Désintégration $\beta$



émission  $\beta^-$



émission  $\beta^+$

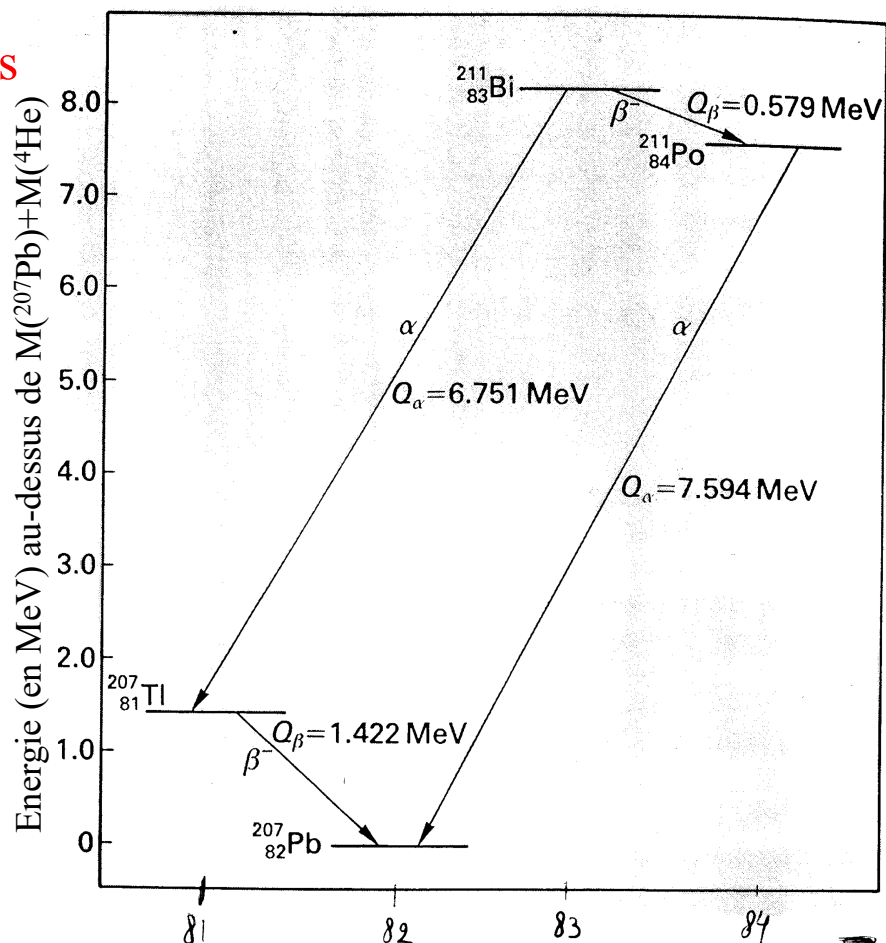


capture électronique



La capture électronique est toujours possible  
si l'émission  $\beta^+$  est possible, car  $Q_{EC} > Q_{\beta^+}$

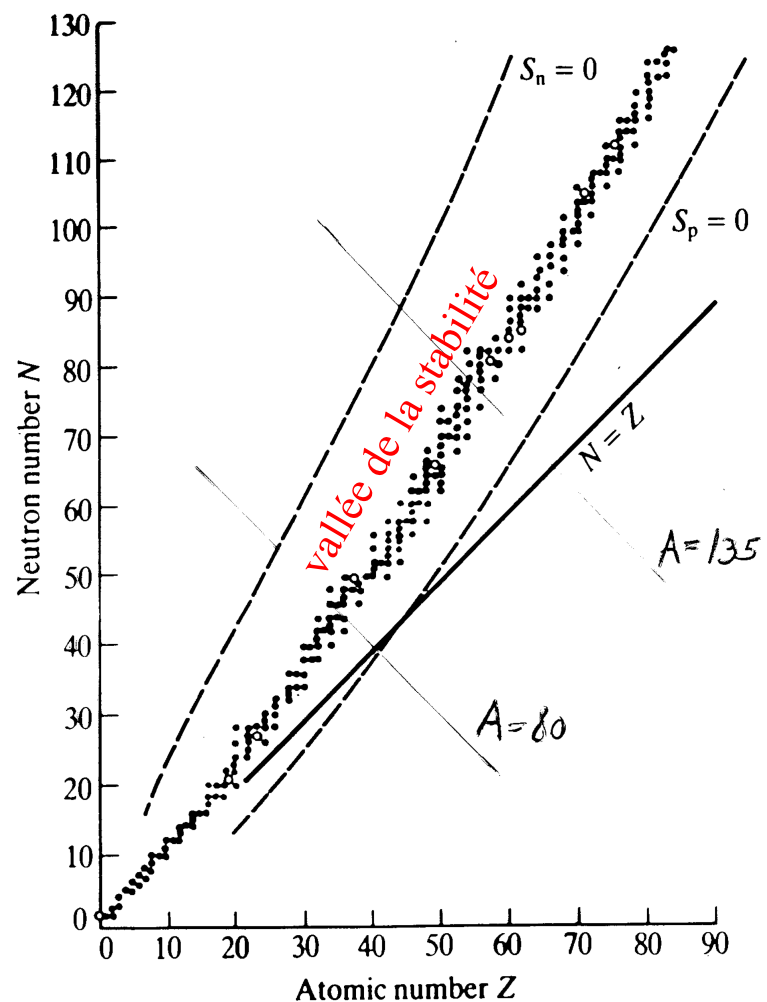
## Désintégrations successives



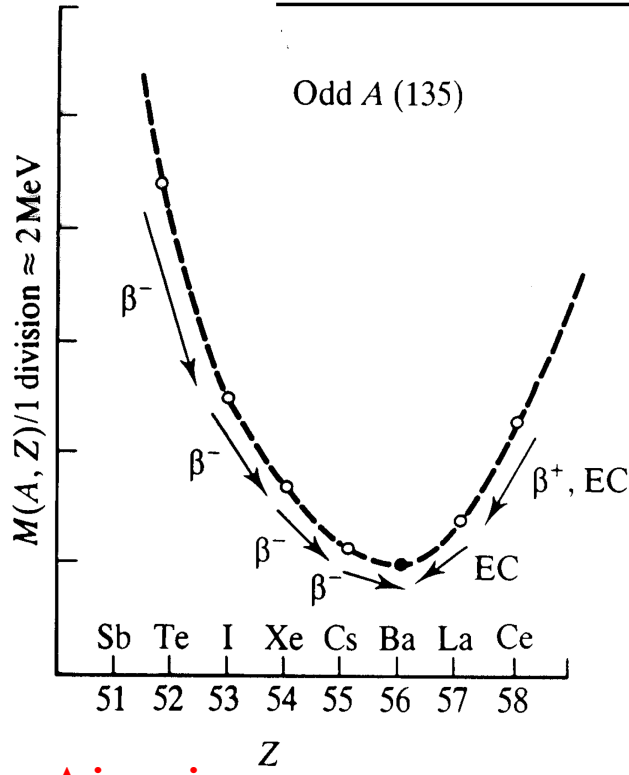
- $Z_A$  = nombre de protons de l'isobare à  $A$  nucléons qui soit stable par rapport aux désintégrations  $\beta$ 
  - $A$  fixé
  - formule de la masse  $M(Z, A)$
  - on pose  $\frac{\partial M}{\partial Z} \Big|_{Z=Z_A} = 0$

$$Z_A = \frac{A}{2} \frac{1}{1 + \frac{a_c}{4a_a} A^{2/3}} < \frac{A}{2}$$

$$= \frac{A}{2} \frac{1}{1 + 0.0075 A^{2/3}}$$

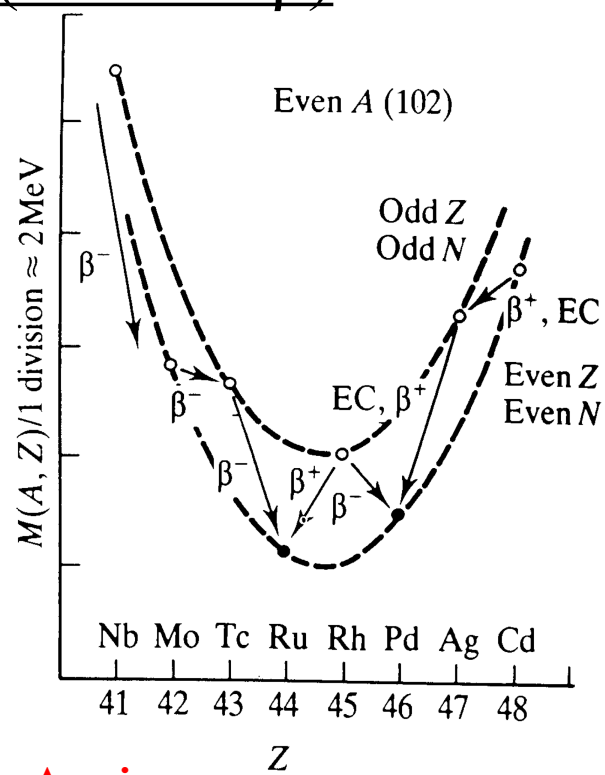


# Isobare stable (stabilité $\beta$ )



**A impair:**

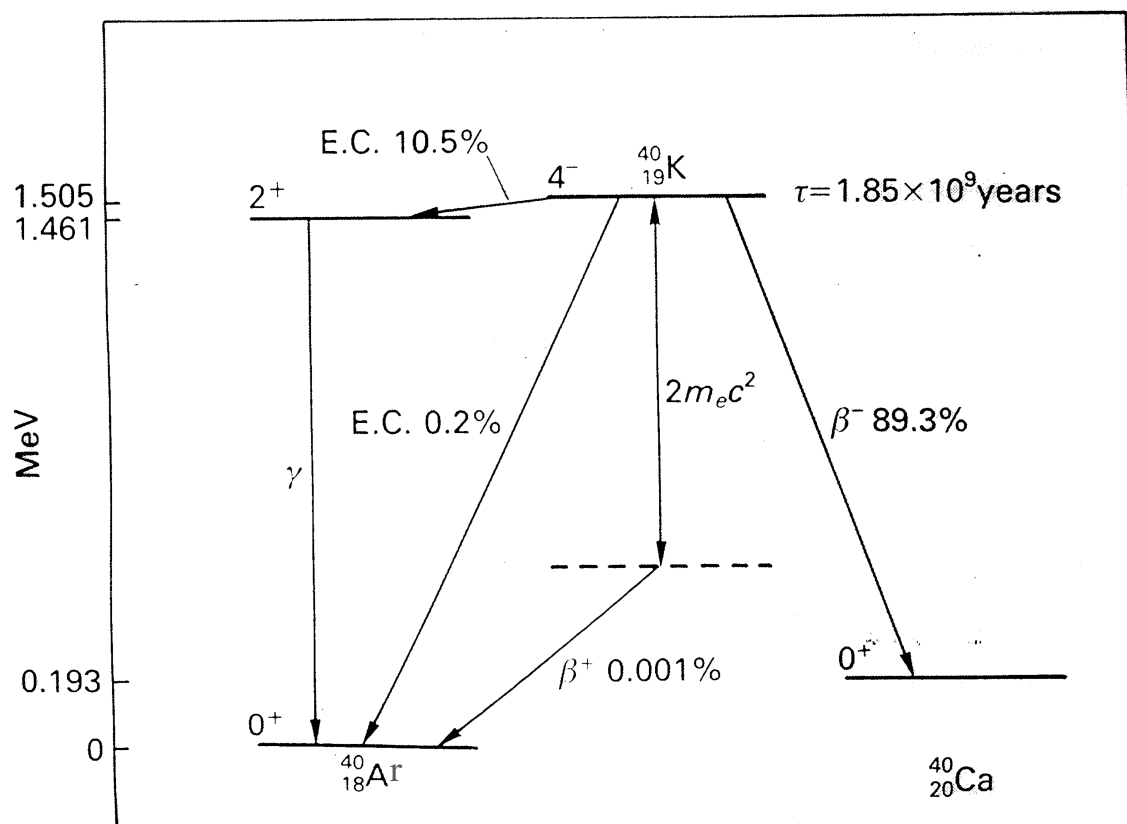
– un seul isobare stable



**A pair:**

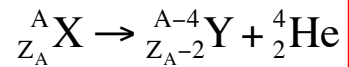
– un ou deux isobares stables  
avec N et Z pairs

## Noyau radioactif $\beta^+$ et $\beta^-$



# Stabilité $\alpha$

- Désintégration  $\alpha$  d'un isobare stable pour la désintégration  $\beta$



- formule de la masse  $M(Z, A)$

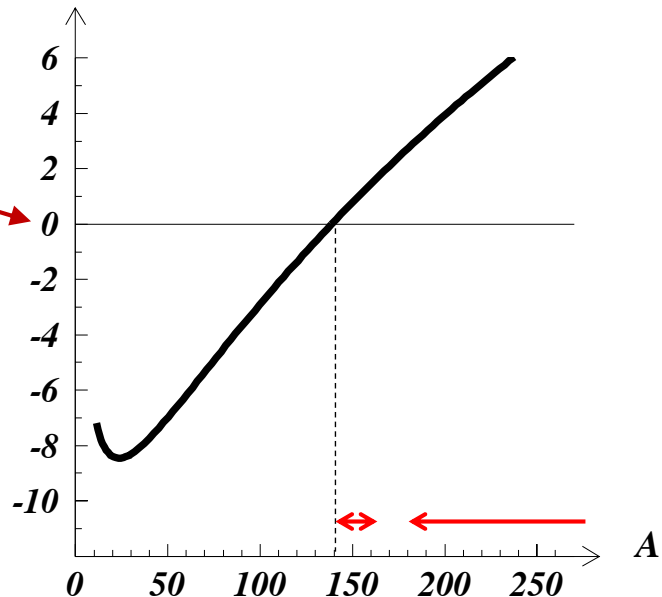
- énergie libérée:

$$Q_\alpha = M(Z, A) - M(Z-2, A-4) - M(2, 4)$$

pour  $Z = Z_A$

–  $Q_\alpha > 0 \Rightarrow A \geq 140$

$$Q_\alpha [\text{MeV}]$$



- Noyaux émetteurs  $\alpha$ :
  - $144 < A < 160$  et  $A > 180$

# Stabilité $\alpha$ (calcul)

- En posant  $c=1$ , et avec  $\Delta Z=-2$ ,  $\Delta A=-4$ :

$$\begin{aligned} Q_\alpha &= M(Z, A) - M(Z - 2, A - 4) - M(2, 4) \\ &= - \left[ M(Z + \Delta Z, A + \Delta A) - M(Z, A) \right] - M(2, 4) \\ &= - \left[ \frac{\partial M}{\partial Z} \Big|_{A=\text{cte}} \Delta Z + \frac{\partial M}{\partial A} \Big|_{Z=\text{cte}} \Delta A \right] - M(2, 4) \end{aligned}$$

- On considère un noyau stable pour la désintégration  $\beta$ , donc

$$Z = Z_A \Rightarrow \frac{\partial M}{\partial Z} \Big|_{A=\text{cte}} = 0 \Rightarrow Q_\alpha = 4 \frac{\partial M}{\partial A} \Big|_{Z=\text{cte}} - M(2, 4)$$

- Avec la formule semi-empirique de la masse, on obtient

$$Q_\alpha = \underbrace{4m_n - M(2, 4)}_{29.9 \text{ MeV}} - 4a_v + \frac{8}{3}a_s A^{-1/3} - \frac{4}{3}a_c Z_A^2 A^{-4/3} + 4a_a \left[ 1 - \left( \frac{2Z_A}{A} \right)^2 \right]$$

où  $Z_A = \frac{A}{2} \frac{1}{1 + \frac{a_c}{4a_a} A^{2/3}} < \frac{A}{2}$